

# 基于微生物燃料电池技术的多元生物质生物产电研究进展

冯玉杰,王鑫,李贺,杨俏,曲有鹏,史昕欣,刘佳,何伟华,解明利

(哈尔滨工业大学城市水资源与水环境国家重点实验室, 哈尔滨 150090)

**摘要:**微生物燃料电池(microbial fuel cell, MFC)是一种使用微生物作为催化剂,直接将生物质能转化为电能的装置,为生物质的利用提供了新的途径。底物类型和底物浓度对于MFC的性能至关重要。使用小分子酸、醇或葡萄糖等简单有机物为底物时,MFC功率输出较高。但当底物为结构复杂的有机物时,为了提高MFC功率输出和底物降解效率,可以采用物理、化学手段对其进行预处理、采用天然菌群进行生物预降解或者添加简单有机物进行底物强化。基于多元生物质MFC技术未来将应用于污水中生物质能回收、偏远地区供电和生物传感器等方面。

**关键词:**生物质;底物;微生物燃料电池;生物传感器;功率密度;能源回收

中图分类号:X382 文献标识码:A 文章编号:0250-3301(2010)10-2525-07

## Progress in Electricity Generation from Biomass Using Microbial Fuel Cell (MFC)

FENG Yu-jie, WANG Xin, LI He, YANG Qiao, QU You-peng, SHI Xin-xin, LIU Jia, HE Wei-hua, XIE Ming-li  
(State Key Laboratory of Urban Water Resource and Environment, Harbin Institute of Technology, Harbin 150090, China)

**Abstract:** By applying bacteria as anodic catalyst, microbial fuel cell (MFC) can directly convert biomass energy into electrical energy, provided a new way for biomass utilization. Previous studies showed that the substrates and their concentration substantially affected performance of MFC. High power output was obtained when simple organic such as volatile fatty acids (VFA), alcohols or glucose was used as substrate. However, physical, chemical or even biological pretreatment methods were needed when substrate was complex organic. Addition of simple organic as co-substrate was also demonstrated to be an efficient way for refractory compounds degradation in MFC. Using biomass as substrates, MFC will be applied in area such as bioenergy recovery from wastewater, power supply in outfiel and biosensors.

**Key words:** biomass; substrate; microbial fuel cell(MFC); biological sensor; power density; energy recovery

微生物燃料电池(microbial fuel cell, MFC)是近年来刚刚兴起的一种绿色产能技术,它以微生物作为催化剂,直接将生物质能转化为电能<sup>[1]</sup>。如图1所示,当以氧气作为阴极电子受体时,MFC一般由厌氧的阳极区和好氧的阴极区组成。在阳极表面,细菌代谢有机生物质生成电子和质子。电子从阳极通过外电路转移到阴极,与透过质子交换膜到达阴极的质子发生反应,在阴极催化剂的作用下最终生成水,从而完成整个生物电化学的电子转移过程。

在此过程中,生物质中的化学能直接转化为电能。MFC技术作为21世纪新一代能源技术,具有如下优点:<sup>①</sup>在微生物的催化下,生物质能直接转化为电能,理论转化效率高<sup>[2]</sup>;<sup>②</sup>生物质廉价且来源广泛,无需特殊的预处理过程;<sup>③</sup>使用微生物取代贵金属催化剂降低了燃料电池的基础投资,使建造廉价的大规模MFC成为可能<sup>[3]</sup>;<sup>④</sup>常温常压pH中性条件下运行,生物相容性好;<sup>⑤</sup>产物无毒无害,是碳中性的绿色产能技术。

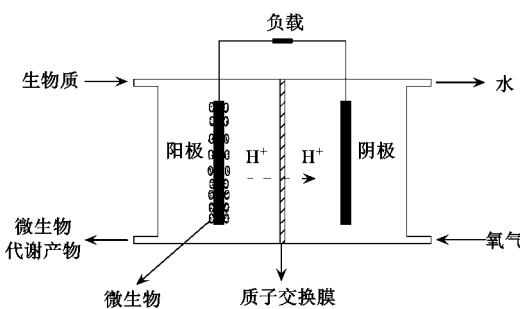


图1 微生物燃料电池示意

Fig. 1 Schematic of microbial fuel cell

但是与化学燃料电池相比,MFC的功率输出大约低4个数量级,因此如何提高MFC的功率输出是现在研究的热点之一。MFC的功率输出  $P = VI$ , 式中

收稿日期:2009-12-03;修订日期:2010-01-31

基金项目:国家自然科学基金项目(50638020)

作者简介:冯玉杰(1966~),女,博士生导师,主要研究方向为环境电化学理论与技术、生物能源、城市水系统水质转化规律及环境控制理论与技术等,E-mail: yujief@hit.edu.cn

$V$  代表电压,  $I$  代表电流. 可以把提高 MFC 的功率密度问题分别理解成提高电压输出和电流输出的问题, 也可以说成是热力学问题和动力学问题. 假设阳极的反应为: 底物  $\rightarrow$  产物  $+ nH^+ + ne^-$ , 开路电位可以由能斯特方程 [公式(1)] 算出:

$$E_A = E_A^0 + \frac{2.303RT}{nF} \lg \left( \frac{c_p c_H^n}{c_s} \right) \quad (1)$$

式中,  $E_A$  为理论阳极电位,  $E_A^0$  为底物氧化还原电位,  $R$  为气体常数,  $T$  为环境温度,  $c_p$  为底物氧化产物浓度,  $c_s$  为底物浓度,  $c_H$  为质子浓度,  $n$  为反应级数. 由此可见, 底物种类决定了  $E_A^0$ , 底物浓度以及反应生成物的浓度直接影响了阳极电位, 从而影响这个电池的电压输出.

电池中的电流可由 Butler-Volmer 方程 [公式(2)] 计算得到:

$$I = i_0 c_s c_p^{-1} c_H^{-n} (e^{\frac{\eta}{b/2.3}} - e^{-\frac{\eta}{b/2.3}}) \quad (2)$$

式中,  $i_0$  为交换电流密度,  $b$  为 Tafel 斜率. 同理, 底物浓度、反应级数和底物氧化产物浓度也直接影响到动力学指标电流. 综上所述, 基于热力学和动力学分析, MFC 阳极底物种类以及底物浓度对于 MFC 的功率输出至关重要.

先前的研究成果表明, 多种生物质都可以作为 MFC 的阳极底物进行产电. 按照成分的复杂程度, 本研究将其分为单一生物质和混合生物质 2 种分别进行阐述. 由于使用的 MFC 构型、阴极催化剂、外电阻以及底物浓度等的差异, 以相同的生物质为底物的 MFC 功率输出一般不同. 因此, 通常选择合适的 MFC 构型, 在一定范围内改变外电阻或使用电化学工作站进行线性伏安扫描, 获得极化曲线和功率输出曲线来表征各类生物质 MFC 的最佳性能<sup>[4]</sup>. 此外, 为表征生物质在某一特定外电阻下的理论最大输出功率, 一般将不同浓度的底物注入 MFC 中, 分别记录最高的功率输出. 根据莫诺方程 [式(3)] 拟合获得的数据, 计算出理论最大功率  $P_{max}$  和半饱和速率常数  $K_s$  (即达到输出功率达到  $P_{max}$  的一半时的底物浓度). 库伦效率 (coulombic efficiency, CE) 是表征 MFC 产电效率的一个重要指标, 是外电路转移的电量占整个底物降解过程转移电量的百分比.

$$P = P_{max} S / (K_s + S) \quad (3)$$

## 1 以单一生物质为底物的产电过程

### 1.1 以小分子有机酸为底物的产电过程

在有机质的厌氧生物降解过程中, 通常会生成大量小分子有机酸, 因此小分子酸是自然界中普遍

存在的一类生物质. 以生物制氢系统为例, 初级发酵产物为乙酸盐和丁酸盐. 由于乙酸盐较容易被微生物利用, 因此通常被用于 MFC 的基础研究<sup>[3, 5, 6]</sup>. Liu 等<sup>[5]</sup> 利用常规的单室空气阴极 MFC (电极间距 4 cm), 分别以乙酸盐和丁酸盐为底物, 比较 2 种底物的产电特性. 当乙酸钠浓度为 800 mg/L 时, 输出功率为 506 mW/m<sup>2</sup> (12.7 W/m<sup>3</sup>), 这个数值比 1 000 mg/L 的丁酸钠高 66% (305 mW/m<sup>2</sup> 或 7.6 W/m<sup>3</sup>). 在高外阻条件下乙酸钠和丁酸钠的 CE 相差不大, 分别为 9.9% 和 7.8%. 随着阻值降低, 乙酸钠为底物的 MFC 的 CE 最高可达到 31.4%, 而丁酸钠的最高 CE 仅为 15%. 2 种底物的最大功率输出点对应的外电阻值下获得各自的理论最大输出功率分别为乙酸钠 661 mW/m<sup>2</sup> ( $K_s = 141$  mg/L) 和丁酸钠 349 mW/m<sup>2</sup> ( $K_s = 93$  mg/L). Oh 等<sup>[7]</sup> 验证了 MFC 可以单独利用丙酸盐产电. 当向启动好的单室空气阴极 MFC 中加入 0.53 mmol/L 丙酸盐时, 获得了 67 mW/m<sup>2</sup> 的最大功率输出, 平均 CE 仅为 14.5%.

### 1.2 以醇类为底物的产电过程

由于乙醇是厌氧发酵的一个重要产物, 因此它是最早被证明可以用作 MFC 产电的醇类. 2007 年 Kim 等<sup>[8]</sup> 以乙醇为唯一底物成功启动了不同构型的 MFC, 结果发现, 使用单室空气阴极 MFC 能够获得  $(488 \pm 12)$  mW/m<sup>2</sup> 的最高功率输出 (CE = 10%). 本课题组在同样的 MFC 中以甘油为底物, 最大功率密度为 533 mW/m<sup>2</sup> (CE = 10.5%). Torres 等<sup>[9]</sup> 在双室 MFC 中, 使用恒电位仪将阳极电位恒定在 100 mV (Ag/AgCl 参比), 比较乙酸盐、丙酸盐、丁酸盐和乙醇的最大电流密度和库伦效率, 结果如表 1 所示, 乙酸盐具有最高的电流密度和库伦效率. 比较上述结果可以看出, 在 MFC 体系中乙酸盐作底物可获得最高的功率输出和库伦效率. 乙醇为底物时, 虽然

表 1 3 种小分子有机酸和乙醇为底物的 MFC 电  
化学及动力学参数<sup>1)[9]</sup>

Table 1 Electrochemical and dynamical parameters of MFC using  
three volatile fatty acids (VFAs) and ethanol as substrates

底物	实测最大电流密度 $j_{max}/A \cdot m^{-2}$	$K'_s$ $/e^- \text{ meq} \cdot L^{-1}$	阳极过电势 $0.5j_{max}/V$	CE /%
乙酸盐	9.0	22	0.32	86
乙醇	8.2	5.3	0.25	49
丙酸盐	1.6	3.8	0.13	41
丁酸盐	0.16	—	—	—
无底物	0.07	—	—	—

1) 未进行实验

库伦效率较低,但输出功率较高,且与乙酸盐相比具有较低阳极过电势。因此,Ren 等<sup>[10]</sup>发现的乙醇型发酵的代谢产物较其他类型发酵产物更适合作为MFC 的底物。Catal 等<sup>[11]</sup>在空气阴极 MFC 中分别以木糖醇、半乳糖醇、阿拉伯糖醇、核糖醇、甘露醇和山梨糖醇为底物测试了产电性能。实验证明上述戊糖醇和己糖醇均能产电,其中半乳糖醇功率密度最高,而甘露醇功率输出最低(表 2)。

表 2 不同多元醇为底物的 MFC 电化学及动力学参数<sup>[11]</sup>

Table 2 Electrochemical and dynamical parameters of MFC using polyalcohols as substrates

底物	最大功率/mW·m <sup>-2</sup>	CE/%	K <sub>s</sub> /mg·L <sup>-1</sup>
木糖醇	2 110 ± 80	21	705
阿拉伯糖醇	2 030 ± 120	25	561
核糖醇	2 350 ± 140	28	753
半乳糖醇	2 650 ± 10	13	437
甘露醇	1 490 ± 160	19	572
山梨糖醇	1 690 ± 80	10	298

### 1.3 以糖类为底物的产电过程

糖类是自然界中存在数量最多、分布最广且具有重要生物功能的有机化合物。其中既具结构简单的葡萄糖,又具纤维素、壳聚糖等多种复杂的有机物。根据分子结构差异,分别讨论单糖、双糖和多糖在 MFC 中的产电情况。

Catal 等<sup>[12]</sup>研究了与纤维素相关的 12 种单糖在 MFC 中的产电情况,其中具 6 种己糖(D-葡萄糖、D-半乳糖、D(-)-果糖、L-海藻糖、L-鼠李糖和 D-甘露糖),3 种戊糖(D-木糖、D(-)-阿拉伯糖和 D(-)-核糖),2 种糖醛酸(D-半乳糖醛酸和 D-葡萄糖醛酸)。实验证明这 12 种糖均可以作为 MFC 的底物直接产电。以乙酸盐作为底物启动空气阴极 MFC,电极间距 1.7 cm(低于常规的 4 cm),阳极面积 2.0 cm<sup>2</sup>(低于常规的 7.0 cm<sup>2</sup>),运行稳定后将底物更换为上述 12 种糖(控制 TOC 在 480 mg/L 左右),在 1 ~ 70 h 内均获得稳定的电压输出,最大功率在 (1 240 ± 10) ~ (2 770 ± 30) mW/m<sup>2</sup> 之间,CE 在 21% ~ 37% 之间(120 Ω)。由表 3 可知,这些单糖的输出功率和半饱和速率常数均不同,其中 D-葡萄糖醛酸获得的功率输出最大,而 D-甘露糖的功率输出最小。

由于双糖可以水解为单糖,因此双糖在 MFC 中也具有较高的功率输出。He 等<sup>[13]</sup>构建了升流式微生物燃料电池,以蔗糖为底物获得了 170 mW/m<sup>2</sup> 的功率输出。

表 3 不同单糖为底物的 MFC 电化学及动力学参数<sup>[12]</sup>

Table 3 Electrochemical and dynamical parameters of

MFC using monosaccharides as substrates

底物	最大功率/mW·m <sup>-2</sup>	CE/%	K <sub>s</sub> /mg·L <sup>-1</sup>
葡萄糖	2 160 ± 10	28	637
半乳糖	2 090 ± 10	23	403
果糖	1 810 ± 10	23	275
海藻糖	1 760 ± 10	34	383
鼠李糖	1 320 ± 110	30	283
甘露糖	1 240 ± 10	25	322
木糖	2 330 ± 60	31	352
阿拉伯糖	2 030 ± 20	27	111
核糖	1 520 ± 40	30	447
半乳糖醛酸	1 480 ± 150	22	493
葡萄糖醛酸	2 770 ± 30	24	725
葡萄糖酸	2 050 ± 30	30	580

纤维素和壳聚糖是自然界中较常见的 2 种多糖。由于结构复杂,它们的降解过程较小分子有机物复杂得多。然而,由于产电菌可以利用一些发酵末端产物作为底物产电,产电过程往往会为发酵降解过程解除末端产物抑制作用,从而促进难降解有机物在 MFC 中的降解。Rismani-Yazdi 等<sup>[14]</sup>用牛胃液作为产电菌源,向双室 MFC 的阳极室中加入纤维素为底物,获得了 55 W/m<sup>2</sup> 的最大功率密度。同样使用双室 MFC, Ren 等<sup>[15]</sup>在阳极电解液中共同培养了 1 株典型的产电细菌 *Geobacter sulfurreducens* 和 1 株纤维素发酵菌 *Clostridium cellulolyticum*。实验发现,只有当这 2 种细菌共同培养时,才能利用纤维素产电。使用羧甲基纤维素作为底物时,最大功率提高到 143 mW/m<sup>2</sup>,而加入 MN301 纤维素的 MFC 最高功率仅为 59.2 mW/m<sup>2</sup>。共培养剩余的代谢产物主要成分为乙酸盐、氢气和乙醇。Rezaei 等<sup>[16]</sup>构建了沉积物 MFC,当以 2 种商用的壳聚糖(JRW Bioremediation, LLC)作为补充底物加入沉积物时,壳聚糖 20 (ChitoRem SC-20) 的最大输出功率为 (76 ± 25) mW/m<sup>2</sup>,而另一种物质壳聚糖 80 (ChitoRem SC-80) 为 (84 ± 10) mW/m<sup>2</sup>。

### 1.4 以氨基酸和蛋白质为底物的产电过程

半胱氨酸通常用作厌氧环境的消氧剂。2005 年 Logan 等<sup>[17]</sup>以半胱氨酸为底物首先开展氨基酸产电试验。使用双室 MFC,当半胱氨酸浓度为 770 mg/L 时,在 493 Ω 下获得最大输出功率 39 mW/m<sup>2</sup>。16S rRNA 分析表明,阳极微生物群落的优势菌群与产电菌 *Shewanella* 非常接近。Heilmann 等<sup>[18]</sup>测试了小牛血清和蛋白胨的产电特性。向单室空气阴极 MFC 中加入 1 100 mg/L 的牛血清或 300 mg/L 的蛋

白胨,可以获得( $354 \pm 10$ ) mW/m<sup>2</sup> (CE = 20.6%) 或 ( $269 \pm 14$ ) mW/m<sup>2</sup> (CE = 6.0%) 的功率输出。实验证明,氨基酸和蛋白质均可在 MFC 中去除并产生电能。

### 1.5 其他难降解有机物在 MFC 中的产电过程

难降解有机污染物也可以作为 MFC 的底物来源。但相对于上述底物来说,由于大部分此类有机物具有复杂的结构或者天然的生物毒性,MFC 的普遍输出功率较低。相比糖类和小分子酸来说,苯系物及其衍生物作为 MFC 底物更大的意义在于污染物的有效去除。在双室 MFC 中,Luo 等<sup>[19]</sup>发现 MFC 技术能将苯酚的降解率提高 15%。单独使用苯酚作为底物运行 MFC 最高功率密度仅为 9.1 W/m<sup>3</sup>,但当使用苯酚-葡萄糖混合底物产电时,功率密度升高到 28.3 W/m<sup>3</sup>,苯酚的降解率也达到了 95% 以上。同样,喹啉、嘧啶和吲哚均被证明可以单独作为底物在 MFC 得到降解并输出电能,功率密度分别为 2.7、1.7 和 2.1 W/m<sup>3</sup>,24 h 内底物降解率 >95%,加入葡萄糖均可提高最大功率输出<sup>[20~22]</sup>。偶氮染料也可作为底物在 MFC 中被降解。Sun 等<sup>[23]</sup>在单室空气阴极 MFC 中,分别将偶氮染料 ABRX3 和多种有机物混合作为共同底物,发现葡萄糖作为共同底物时染料脱色效果最好,48 h 内脱色率可达到 80.1% (对照实验脱色率仅为 11.2%)。

## 2 以混合有机物为底物的产电过程

### 2.1 以有机废水为底物的产电过程

废水处理技术需要将废水中的主要污染物去除。目前,利用传统好氧工艺处理废水时,氧化 1 kg 的碳水化合物约需要消耗 1 kWh 的能量<sup>[24]</sup>。以美国

为例,每年消耗的电能中,有 4% 用于废水处理。如果将 MFC 技术引入废水处理领域,阳极用有机废水作燃料,会使废水处理过程不再是耗能的,而是产能的过程。2004 年,Liu 等<sup>[25]</sup>第一次在 MFC 中处理生活污水并验证了其产电特性(表 4)。表 4 中列举了已报道的 10 种有机废水在 MFC 中的产电情况,从中可以看出,由于使用的 MFC 构型、溶液电导率和阴极电子受体等不同,获得的功率输出和 CE 均不同。但上来看,使用实际废水的功率输出一般比使用纯物质作底物时要低很多<sup>[32]</sup>。究其原因,第一,实际废水的电导率比较低。考虑到实际应用,一般不向废水中加入 NaCl 等导电物质。溶液的电导率直接影响了 MFC 的内阻,电导率越低,MFC 的内阻越大,输出功率越低。第二,溶液中不加入磷酸盐缓冲液(PBS),质子传递速率降低。由于质子不能高速有效地从阳极传递到阴极,会在高电流输出的情况下导致阳极的质子积累。阳极 pH 降低,阴极 pH 升高,进而会抑制阳极产电菌的活性,使阳极电位升高以及阴极电位降低(基于能斯特方程),最终导致输出功率降低。第三,由于实际废水成分复杂,其中可能会有一些难生化降解的物质。微生物很难直接利用这些物质直接产电。与前面提到的纤维素产电过程相似,这些物质的降解需要发酵细菌的共同作用。因此,在使用实际废水的 MFC 中,功率输出受到发酵菌和产电菌代谢速率的共同影响。此外,根据式(3)所示,MFC 的功率输出与底物的浓度,在这里为废水的 BOD 或 COD 浓度相关,较低的废水浓度不利于产电。因此,考虑到未来应用,淀粉废水、啤酒废水和秸秆水解液等含有较高浓度糖类或小分子酸类有机废物的废水更适宜作为 MFC 底物进行电能回收。

表 4 各种有机废水的产电特性<sup>1)</sup>

Table 4 Performance of MFC using wastewaters as substrates

废水种类	MFC 构型	初始 COD /mg·L <sup>-1</sup>	COD 去除率 /%	最大功率 /W·m <sup>-3</sup>	CE/%	文献
生活污水	大型单室	50 ~ 220	80	1.5	3 ~ 12	[25]
生活污水	单室空气阴极	200 ~ 300	—	3.7	20	[26]
淀粉废水	双室 H 型	400	—	4.0	—	[27]
医院废水	管状双室	332	—	8.0	22	[28]
猪粪废水	单室空气阴极	359 ~ 2 840	88 ~ 92	6.5	10 ~ 26	[29]
屠宰废水	单室空气阴极	570 ~ 2 843	>86	2.0	5.2 ~ 15.4	[18]
谷类废水*	双室 H 型	595	95	0.59	27.1 ~ 40.5	[7]
秸秆水解液*	单室空气阴极	250 ~ 1 000	60 ~ 70	9.3	20 ~ 30	[30]
垃圾渗滤液*	单室空气阴极	9.8 ~ 4 900	70 ~ 98	6.8	3.4 ~ 21.2	[31]
啤酒废水	单室空气阴极	84 ~ 2 240	54 ~ 98	5.1	10 ~ 27	[32]
造纸废水	单室空气阴极	181 ~ 1 464	29	0.23	—	[33]
生物柴油废弃物*	单室空气阴极	390 ~ 3 920	86 ~ 95	12	6	未发表

1) \* 表示加入 PBS 缓冲溶液

## 2.2 以天然固体有机物为底物的产电过程

Velasquez-Orta 等<sup>[34]</sup>使用了 1 株大型海藻 (*Ulva lactuca*) 和 1 株微藻 (*Chlorella vulgaris*) 的粉末分别作为 MFC 底物, 分别获得了  $980 \text{ mW/m}^2$  和  $760 \text{ mW/m}^2$  的最大功率输出(空气阴极 MFC)。相比之下, *Chlorella vulgaris* 粉末具有较高的单位生物质能量产率( $2.5 \text{ kWh/kg}$ ), 而 *Ulva lactuca* 具有较高的 COD 降解率(73%)。

利用单室空气阴极 MFC, 冯玉杰等<sup>[35]</sup>以天然玉米秸秆为底物, 用实验室筛选和保存的纤维素降解菌 *Chaetomium spp.* 和 *Bacillus spp.* 与纤维素降解混合菌群 PCS-S 和 H-C 为秸秆降解的生物催化剂, 研究了以秸秆为底物进行生物产电可行性。结果表明, 在 MFC 系统内, 纤维素降解纯菌和混合菌群均能降解纤维素, 但没有电流产生。加入生活污水作产电菌源后, 秸秆在纤维素降解混合菌群 H-C 和产电菌联合作用下降解并产生电流, 秸秆降解率达到 45%, 此时得到的以汽爆秸秆作为底物时的最大功率密度为  $406 \text{ mW/m}^2$ , 这仅比葡萄糖作为底物时所得到的最大功率密度  $510 \text{ mW/m}^2$  低 20%。在上述系统中直接加入原始秸秆也可获得高达  $331 \text{ mW/m}^2$  的最大功率输出, + 能量效率(3.6%)比使用汽爆预处理时(1.6%)高出 1.25 倍<sup>[36]</sup>。该研究在世界上首次将 MFC 的底物范围延伸到天然难降解有机固体废弃物, 极大地拓展了 MFC 可利用的底物范围。

## 3 结论与展望

MFC 技术底物类型非常广泛, 从各种简单的小分子酸、醇到复杂的纤维素、蛋白质、苯系物, 乃至各类有机废水均可以作为燃料供给 MFC 产电。由于小分子酸和葡萄糖等简单有机物较容易被微生物利用, 功率密度和能量效率较高, 因此不考虑成本而言, 它们最适宜作为 MFC 的底物。然而自然界中含量最大的且分布最广泛的生物质大多生物难降解(如纤维素类物质), 当使用这些物质作为 MFC 底物时, 可以使用物理、化学手段进行预处理, 破坏其表面结构或将其初步降解为生物较容易利用的有机物。或者针对该类物质驯化天然微生物降解菌群, 将复杂有机物分解为简单有机物, 再供给产电菌群回收电能。对于具有生物毒性的有机物, 将其单独作为底物产电功率输出较低且降解速率较慢。为了在 MFC 中将其高效快速降解, 可以采用外加葡萄糖的方法为产电菌提供降解动力, 或者通过外加电压的方法, 在阴极对有毒污染物进行生物辅助电化学分

解<sup>[37]</sup>。有机废水作为底物的 MFC 需要使用原始废水进行接种和驯化, 筛选出适宜的产电微生物群落, 提高功率输出。

MFC 未来可以被广泛地用于废弃生物质能源回收。在偏远的经济欠发达地区, 可以用有机废水或秸秆等生物质为阳极燃料, 串联一系列 MFC 作为分散式电源, 供给当地居民使用。植物通过光合作用产生蔗糖和其它低分子糖类。在每年的特定时期中, 这些糖通过茎运输到植物体内【】。人们也可以获得这些植物的汁液, 然后利用这些汁液流供给 MFC 发电。一些物质诸如枫木糖浆已经过测试<sup>[38]</sup>, 转化效率高达 50%。MFC 排出的矿物质能被树木或者植物回收利用。利用这种方法, 森林将是一个连续的绿色能源提供系统, 将光能直接转化为电能。此外, 利用藻类吸收环境中过量的  $\text{CO}_2$ , 在太阳光的照射下将其转化为生物质并在 MFC 中转化为电能。MFC 的出水继续用于藻类生长, 而后继续将藻类放入 MFC 发电, 从而形成一个基于藻类的可持续零碳排生物产能循环系统, 这也是 MFC 的未来应用方向之一<sup>[39]</sup>。由于电压信号与底物浓度间存在相关性, 微型 MFC 也将作为生物传感器应用于 BOD 在线监测和生物毒性监测等方面<sup>[40, 41]</sup>。

然而, 当人们将 MFC 由实验室规模放大时, 功率密度大规模降低<sup>[3]</sup>。考虑到实际应用, 在构型设计、电极材料选择等方面还存在很多问题, MFC 的成本、功率输出以及底物利用效率是制约该技术走向实用化的瓶颈问题。废水处理 MFC, 一方面人们要尽量减小阴阳极之间的距离来减小内阻; 另一方面, 又要尽可能扩大有效的容积以满足废水处理的需要。此外, MFC 中廉价的电极材料、阴极非贵金属催化剂、廉价分隔介质的开发等问题也急需解决。因此, 随着对 MFC 产电过程和细胞间电子传递机制认识的逐步深入, 未来人们将构建大规模高功率输出的多元生物质 MFC。

## 参考文献:

- [1] Bennetto H P, Box J, Delaney G M, et al. Redox-mediated electrochemistry of whole micro-organisms: from fuel cell to biosensors [A]. In: Urner A F T, Karube I, Wilson G S. Biosensors: fundamentals and applications [M]. Oxford: Oxford University Press, 1987. 291-314.
- [2] Rabaey K, Lissens G, Verstraete W. Microbial fuel cells: performances and perspectives[A]. In: Lens P N, Westermann P, Haberbauer M, et al. Biofuels for fuel cells: renewable energy from biomass fermentation [M]. London: IWA Publishing, 2005. 375-396.

- [ 3 ] Clauwaert P, Van der Ha D, Boon N, *et al.* Open air biocathode enables effective electricity generation with microbial fuel cells [J]. *Environ Sci Technol*, 2007, **41**:7564-7569.
- [ 4 ] Logan B E, Hamelers B, Rozendal R, *et al.* Microbial fuel cells: methodology and technology [J]. *Environ Sci Technol*, 2006, **40**(17):5181-5192.
- [ 5 ] Liu H, Cheng S A, Logan B E. Production of electricity from acetate or butyrate using a single-chamber microbial fuel cell [J]. *Environ Sci Technol*, 2005, **39**: 658-662.
- [ 6 ] 冯玉杰, 王鑫, 李贺, 等. 乙酸钠为基质的微生物燃料电池产电过程 [J]. 哈尔滨工业大学学报, 2007, **39**(12): 1890-1894.
- [ 7 ] Oh S E, Logan B E. Hydrogen and electricity production from a food processing wastewater using fermentation and microbial fuel cell technologies [J]. *Water Res*, 2005, **39**: 4673-4682.
- [ 8 ] Kim J R, Jung S H, Logan B E, *et al.* Electricity generation and microbial community analysis of ethanol powered microbial fuel cells [J]. *Bioresour Technol*, 2007, **98**(13): 2568-2577.
- [ 9 ] Torres C I, Marcus A K, Rittmann B E. Kinetics of consumption of fermentation products by anode-respiring bacteria [J]. *Appl Microbiol Biotechnol*, 2007, **77**: 689-697.
- [ 10 ] Ren N Q, Wang B Z, Huang J C. Ethanol-type fermentation from carbohydrate in high rate acidogenic reactor [J]. *Biotechnol Bioeng*, 1997, **54**: 428-433.
- [ 11 ] Catal T, Xu S T, Li K, *et al.* Electricity generation from polyalcohols in single-chamber microbial fuel cells [J]. *Biosens Bioelectron*, 2008, **24**: 849-854.
- [ 12 ] Catal T, Li K, Bermek H, *et al.* Electricity production from twelve monosaccharides using microbial fuel cells [J]. *J Power Sources*, 2008, **175**: 196-200.
- [ 13 ] He Z, Minteer S D, Angenent L T. Electricity generation from artificial wastewater using an upflow microbial fuel cell [J]. *Environ Sci Technol*, 2005, **39**: 5262-5267.
- [ 14 ] Rismani-Yazdi H, Christy A D, Dehority B A, *et al.* Electricity generation from cellulose by rumen microorganisms in microbial fuel cells [J]. *Biotechnol Bioeng*, 2007, **97**(6): 1398-1407.
- [ 15 ] Ren Z, Ward T E, Regan J M. Electricity production from cellulose in a microbial fuel cell using a defined binary culture [J]. *Environ Sci Technol*, 2007, **41**(13): 4781-4786.
- [ 16 ] Rezaei F, Richard T L, Brennan R, *et al.* Substrate-enhanced microbial fuel cells for improved remote power generation from sediment-based systems [J]. *Environ Sci Technol*, 2007, **41**(11): 4053-4058.
- [ 17 ] Logan B E, Murano C, Scott K, *et al.* Electricity generation from cysteine in a microbial fuel cell [J]. *Water Res*, 2005, **39**: 942-952.
- [ 18 ] Heilmann J, Logan B E. Production of electricity from proteins using a microbial fuel cell [J]. *Water Environ Res*, 2006, **78**(5): 531-537.
- [ 19 ] Luo H, Liu G, Jin S. Phenol degradation in microbial fuel cells [J]. *Chem Eng J*, 2009, **147**: 259-264.
- [ 20 ] Zhang C, Li M, Liu G, *et al.* Pyridine degradation in the microbial fuel cells [J]. *J Hazard Mater*, 2009, **172**: 465-471.
- [ 21 ] Zhang C, Liu G, Zhang R, *et al.* Electricity production from and biodegradation of quinoline in the microbial fuel cell [J]. *J Environ Sci Health Part A*, 2010, **45** (2): 250-256.
- [ 22 ] Luo Y, Zhang R, Liu G, *et al.* Electricity generation from indole and microbial community analysis in the microbial fuel cell [J]. *J Hazard Mater*, 2010, **176**: 759-764.
- [ 23 ] Sun J, Hu Y Y, Bi Z, *et al.* Simultaneous decolorization of azo dye and bioelectricity generation using a microfiltration membrane air-cathode single-chamber microbial fuel cell [J]. *Bioresour Technol*, 2009, **100**: 3185-3192.
- [ 24 ] Rabaey K, Verstraete W. Microbial fuel cells: novel biotechnology for energy generation [J]. *Trends Biotechnol*, 2005, **23**(6): 291-298.
- [ 25 ] Liu H, Ramnarayanan R, Logan B E. Production of electricity during wastewater treatment using a single chamber microbial fuel cell [J]. *Environ Sci Technol*, 2004, **38**: 2281-2285.
- [ 26 ] Liu H, Logan B E. Electricity generation using an air-cathode single chamber microbial fuel cell in the presence and absence of a proton exchange membrane [J]. *Environ Sci Technol*, 2004, **38**, 4040-4046.
- [ 27 ] Gil G C, Chang I S, Kim B H, *et al.* Operational parameters affecting the performance of a mediator-less microbial fuel cell [J]. *Biosen Bioelectron*, 2003, **18**: 327-338.
- [ 28 ] Rabaey K, Clauwaert P, Aelterman P, *et al.* Tubular microbial fuel cells for efficient electricity generation [J]. *Environ Sci Technol*, 2005, **39**(20): 8077-8082.
- [ 29 ] Min B, Kim J R, Oh S E, *et al.* Electricity generation from swine wastewater using microbial fuel cells [J]. *Water Res*, 2005, **39**(20): 4961-4968.
- [ 30 ] Zuo Y, Maness P C, Logan B E. Electricity production from steam-exploded corn stover biomass [J]. *Energy Fuels*, 2006, **20**(4): 1716-1721.
- [ 31 ] You S, Zhao Q, Jiang J, *et al.* Sustainable approach for leachate treatment: Electricity generation in microbial fuel cell [J]. *J Environ Sci Health (A)*, 2006, **41**: 2721-2734.
- [ 32 ] Feng Y, Wang X, Logan B E, *et al.* Brewery wastewater treatment using air-cathode microbial fuel cells [J]. *Appl Microbiol Biotech*, 2008, **78**(5): 873-880.
- [ 33 ] Huang L, Logan B E. Electricity generation and treatment of paper recycling wastewater using a microbial fuel cell [J]. *Appl Microbiol Biotechnol*, 2008, **80**(2): 349-355.
- [ 34 ] Velasquez-Orta S B, Curtis T P, Logan B E. Energy from algae using microbial fuel cells [J]. *Biotechnol Bioeng*, 2009, **103**: 1068-1076.
- [ 35 ] 冯玉杰, 王鑫, 王赫名, 等. 以玉米秸秆为底物的纤维素降解菌与产电菌联合产电的可行性 [J]. 环境科学学报, 2009, **29**(11): 2295-2299.
- [ 36 ] Wang X, Feng Y, Wang H, *et al.* Bioaugmentation for electricity generation from corn stover biomass using microbial fuel cells [J]. *Environ Sci Technol*, 2009, **43**: 6088-6093.
- [ 37 ] Mu Y, Rozendal R A, Rabaey K, *et al.* Nitrobenzene removal in

- bioelectrochemical systems [J]. Environ Sci Technol, 2009, **43**(12): 8690-8695.
- [38] Rabaey K, Ossieur W, Verhaeghe M, et al. Continuous microbial fuel cells convert carbohydrates to electricity [J]. Water Sci Technol, 2005, **52**(1-2): 515-523.
- [39] Schampelaire L D, Verstraete W. Revival of the biological sunlight-to-biogas energy conversion system [J]. Biotechnol Bioeng, 2009, **103**, 296-304.
- [40] Kang K H, Jang J K, Pham T H, et al. A microbial fuel cell with improved cathode reaction as a low biochemical oxygen demand sensor [J]. Biotechnol Lett, 2003, **25**: 1357-1361.
- [41] Choi Y, Jung E, Kim S, et al. Membrane fluidity sensing microbial fuel cell [J]. Bioelectrochemistry, 2003, **59**: 121-127.

## 欢迎订阅 2011 年《环境科学》

《环境科学》创刊于 1976 年,由中国科学院主管,中国科学院生态环境研究中心主办,是我国环境科学学科中最早创刊的学术性期刊。

《环境科学》自创刊以来,始终坚持“防治污染,改善生态,促进发展,造福人民”的宗旨,报道我国环境科学领域内具有创新性高水平,有重要意义的基础研究和应用研究成果,以及反映控制污染,清洁生产和生态环境建设等可持续发展的战略思想、理论和实用技术等。

《环境科学》在国内外公开发行,并在国内外科技界有较大影响,被国内外一些重要检索系统收录,如美国医学索引 MEDLINE;美国化学文摘 CA;俄罗斯文摘杂志 AJ;美国生物学文摘预评 BP;美国医学索引 IM;日本科学技术情报中心数据库 JICST;英国动物学记录 ZR;剑桥科学文摘(CSA):Environmental Sciences;剑桥科学文摘(CSA):Pollution Abstracts;剑桥科学文摘(CAS):Life Sciences Abstracts 等;国内的检索系统有中国科技论文统计与引文数据库(CSTPCD);中文科技期刊数据库(维普);中国期刊全文数据库(CNKI);数字化期刊全文数据库(万方);中国科学引文数据库(CSCD);中国生物学文摘等。

全国各地邮局均可订阅,如有漏订的读者可直接与编辑部联系,办理补订手续。

《环境科学》2011 年为大 16 开本,70 元/册,全年 12 期。

国内统一刊号:CN11-1895/X 国际标准刊号:ISSN 0250-3301

国外发行代号:M 205 国内邮发代号:2-821

编辑部地址:北京市海淀区双清路 18 号(2871 信箱) 邮编:100085

电话:010-62941102;传真:010-62849343;E-mail:hjkx@rcees.ac.cn;网址:www.hjkx.ac.cn